

研究生毕业论文

第二军医大学

一九八五年九月

第二军医大学
八二届研究生毕业论文

论文题目：人 SIGA 分泌成分（ S C ）的基础
和临床研究

部 别：第二附属医院

专 业：消化免疫（肝脏疾病免疫）

研 究 生：张鲁榕

导 师：张国治 职称 教授
孔宪涛 职称 副教授
李 石 职称 副教授

指导小组：实验科：谢映华 杨宗岳 沈新义
耿培兰

内 科：陈士葆 张贤康 黄品忠

研究起止日期：1984.5～1985.5

交稿日期：1985.9

前　　言

肝脏是人体最大的实质性脏器，是人体物质代谢的中心，具有参与糖、蛋白质、脂肪、维生素、激素代谢；解毒；合成排泌胆汁；制造凝血物质等功能。在感染、异常免疫反应、药物毒物等因素影响下，易发生肝细胞损害、胆汁淤滞、炎症反应等病理变化，肝胆疾病是临床最常见疾病。血清酶和蛋白质的变化是诊断肝胆疾病的主要实验指标。

随着免疫学的迅速发展，近年国外研究证实，肝脏在分泌型 IgA 免疫系统中起重要作用，人体存在 p-IgA 的肠肝循环，肝胆每日排泌 160～400mg SIGA 入肠，既加强肠道抗菌抗病毒抗食物抗原的免疫力，又清除体循环的免疫复合物，保持血清 p-IgA 的动态平衡。当肝胆病患时，血清 SIGA 含量显著变化。鉴于国内尚未开展此项研究，本文先提纯 SIGA 的分泌成分—SC (Secretory Component)，建立血清测定 SIGA 含量的双抗体 RIA 方法，证实 SC 在肝内的组织学定位，探讨我国肝胆疾病患者血清 SIGA 变化情况及其检测的临床意义，旨在为肝胆疾病的诊疗提供新的血清学指标。

目 录

前 言	
摘 要	1
I、人 SIGA 分泌成分 (S C) 的提纯及其抗血清制备	
一、材料与方法	5
二、结果	8
三、讨论	12
(一) SC 纯化方法问题	
(二) 抗 SC 血清制备及特异性问题	
(三) 抗 SC 血清的亲和力	
(四) SC 及其抗血清的应用范围	
II、血清 SIGA 液相 R I A 测定法的建立及正常人血清 SIGA 含量	
一、材料与方法	16
二、结果	18
三、讨论	27
(一) 液相 R I A 法的选择	
(二) 最适抗体稀释度的特殊性	
(三) 血清 SIGA 的正常值及其来源	
III、SC 在肝组织中的定位	
一、材料与方法	30
二、结果与讨论	32
IV、血清 SIGA 水平与肝胆疾患	
一、材料与方法	35

二、结果	38
三、讨论	54
(一) 肝胆疾患血清 SIGA 特异性升高及其机制	
(二) 血清 SIGA 与 BIL、AKP、γ-GT 的比较	
(三) 血清 SIGA 对慢活肝与慢迁肝鉴别诊断上的价值	
参考文献	60
综述	69
致谢	83

摘要

本文通过提纯人 SIGA 的分泌成分 (SC)、制备抗 SC 血清、建立血清 SIGA 含量的双抗体 RIA 检测法，探讨血清 SIGA 在肝胆疾病中的变化及其临床价值。

用 DEAE-Cellulose 32、CM-Sephadex C50、IgM-Sepharose 4B、抗乳铁蛋白 IgG-Sepharose 4B 及 Sephadex G-200 提纯人乳清游离型 SC，经 PGAE、免疫电泳法证实为免疫纯，分子量约为 75,500。所制备的兔抗人 SC 血清对 SC 效价为 1:32，对 SIGA 为 1:8~16。所建立的血清 SIGA 含量的双抗体 RIA 检测法在精确度、准确性、灵敏度、线性、特异性及稳定性方面均良好，操作简便可靠，3 小时出结果。

69 名正常成人血清 SIGA 均值为 $13 \cdot 14 \pm 7 \cdot 6 \mu\text{g}/\text{ml}$ ，正常值范围为 $0 \sim 28 \cdot 04 \mu\text{g}/\text{ml}$ ，正常实测范围 $2 \sim 42 \mu\text{g}/\text{ml}$ ，与国外报道相近。

132 例肝功能正常的非肝胆疾病患者血清 SIGA 无明显升高 ($P > 0 \cdot 05$)，而 397/435 例肝胆疾患者明显升高，提示该指标有高度肝胆疾病特异性。

免疫荧光法证实，SC 分布于正常人肝的小胆管及小叶间胆管上皮细胞。多元逐步回归的因素挑选分析表明，BIL（血清总胆红素）、SGPT（血清谷丙转氨酶）与 SIGA 之间作用显著。这些提示，血清 SIGA 升高与肝内炎变时细胞受损及胆汁返流有关。

简单相关分析表明，在不同肝胆疾病，血清 SIGA 与 SGPT、BIL、AKP、 γ -GT 的相关性不同。阳性检出率比较提示，血清 SIGA 的检测有助于检出 BIL、AKP 阴性的肝胆疾患。

黄疸型肝炎恢复期，该指标延滞恢复，可用于协助诊断肝炎是否痊愈。血清 SIGA 持续性升高提示预后不好。

慢活肝（CAH）活动期组血清 SIGA 均值较慢迁肝（CPH）组高 2·83 倍以上 ($P < 0·01$)，且重迭性较小，提示该指标反映肝内炎变部位及程度，有助于 CAH（尤其无黄疸的 CAH）与 CPH 的鉴别诊断。

Abstract

The purpose of this study is to evaluate the diagnostic value of serum SIgA levels as determined by radioimmunoassay for hepatobiliary diseases.

Human free secretory component (SC) was purified from human whey using DEAE-cellulose 32, CM-Sephadex C50 IgM-sepharose 4B, anti-lactoferrin IgG -Sephadex 4B and Sephadex G-200. The purified SC was shown to be a single band on both PAGE and immunoelctrophoresis and to have a molecular weight of 75,500 on SDS-PAGE. The rabbit antihuman SC antibodies had an anti-SC titer of 1:32 and anti-SIgA titer of 1:8-16 in double immunodiffusion tests. The results of methodological appraisal indicated that the double antibody radioimmunoassay for human SIgA was specific, reproducible, sensitive and rapid, and could give results in three hours.

In 69 healthy individuals the range of serum SIgA was 2-42 μ g/ml, the $\bar{x} \pm SD$ was 13.14 ± 7.6 μ g/ml, the normal value was 0-28.04 μ g/ml..

In 132 patients with non-hepatobiliary disease, there was minor and infrequent elevation of serum SIgA (χ^2 test, $p > 0.05$), By contrast, marked and the

frequent increases of it were found in 397 out of 435 cases of hepatobiliary diseases (χ^2 test, $p < 0.01$).

The SC was localized in the cells of portal bile duct and bile canaliculi by the indirect immunofluorescence technique. The multiple stepwise regression analysis indicated that the elevation of serum SIgA might relate to the lesions of liver and to the backflow of biliary SIgA and SC.

There were different coefficients of correlation between SIgA and SGPT, BIL, AKP and r-GT in different hepatobiliary diseases. According to the rates of the positive test, serum SIgA might be an useful mark for diagnosis of the patients with hepatobiliary disease without positive BIL or AKP.

The mean level of serum SIgA in CAH (in active period) was 2.83 times as high as that of CPH, and the overlap of SIgA between CAH and CPH was much less than that of r-GT, which suggests that serum SIgA might be used as a new index for differential diagnosis between CAH and CPH, and for judging the degrees of portal inflammation.

I. 人SIGA分泌成分(SC)的提纯及其抗血清制备

分泌成分(Secretory Component, SC)是一种在粘膜免疫中具有重要生物活性的糖蛋白,含糖量18~19%⁽¹⁾,分子量约75,500,等电点为4.7~5.3⁽²⁾。近十多年,国外对SC的研究甚多,提出了SIgA(分泌型免疫球蛋白A)形成过程及pIgA(多体IgA)的肠肝循环等理论⁽³⁾;临幊上,用抗SC血清检测血中SIGA,发现SIGA特异性地在肝胆疾病患者血清中显著升高⁽⁴⁾;激素对子宫液、泪液SC水平有影响^(5,6);还发现组织SC的免疫反应性对直肠结肠癌的诊断和预后估计有一定价值⁽⁷⁾。为开展对SC、血清SIGA与肝胆疾病的研究,我们提纯了SC,制备了抗SC血清,兹介绍如下。

材料和方法

一、材料

(一) 乳清:收集健康、无乳腺疾患的孕妇产后2~5天内新鲜乳汁,4°C下100,000g离心30分钟,弃上层黄色结块乳脂和下层白色沉淀的酪蛋白,取中层清沴液,存于-20°C,待提纯。

(二) IgM~Sephadex G-25亲和层析柱制备:取Waldenström巨球蛋白血症患者血浆200ml,用蒸馏水沉淀优球蛋白法⁽⁸⁾反复提取数次,得到高纯度IgM。用0.12M NaCl、0.1M pH7.2 Na-PO₄ PBS₁溶解提取物,使蛋白浓度为50~60mg/ml,取1.5g IgM,与100ml CNBr活化的50% Sephadex G-25悬液按Underdown方法⁽⁹⁾偶联。

(三) 抗乳铁蛋白IgG~Sephadex G-25亲和层析柱制备:取效价为1:32兔抗人乳铁蛋白血清(本室自制),以QAE~

Sephadex A50 法⁽⁸⁾提取其中 IgG，将 1 g IgG 与 50 ml CNBr 活化的 Sepharose 4 B 按常规方法交联⁽⁸⁾。

(四) DEAE—Cellulose 32 和 Sephadex G—200 按本室常规⁽⁸⁾处理后，分别以 0.01 M、pH 7.6 PB 和 PBS I 充分平衡。

(五) CM—Sephadex C50 干粉。

(六) 抗血清：抗人全乳血清由本院放免室提供；抗人 SIgA 血清由上二医附属新华医院同位素室惠赠；抗正常人全血清、抗 IgA、抗 IgM 购自上海生物制品所。

二、SC 提纯方法

参照文献报告(2, 9, 10, 11)，经本文改良的方法如下：取乳清 200 ml，对 0.01 M、pH 7.6 PB 充分透析平衡后，以 40~50 ml/小时流速过 DEAE—Cellulose 32 层析柱 (2.5×30 cm)，用 0.01 M、pH 7.6 PB 洗脱。收集穿过峰液，加入 $\text{Fe}(\text{NH}_4)_2(\text{SO}_4)_2$ 固体至浓度为 4 mg/L，电动搅拌下加入 CM—Sephadex C50 干粉 (2 g/L)，4℃下缓慢搅拌 2 小时。置冰箱过夜后，II 号砂芯漏斗过滤，取滤过夜，用枸橼酸调至 pH 6.8 后加入交联好的 IgM ~ Sepharose 4 B，4℃搅拌 3 小时，装柱 (2.5×30 cm)，以 PBS I 洗脱杂蛋白，至流出液无蛋白为止 (A278 < 0.02)，亲和柱再用 1 M、pH 7.0 KSCN 洗脱结合蛋白，收集蛋白峰液，对 PBS I 充分透析至无 KSCN 后 (用 FeCl_3 检测)，过抗乳铁蛋白 IgG ~ Sepharose 4 B 亲和层析柱，用 PBS I 洗脱，收集穿过峰，4℃下超滤浓缩至 10 ml。过 Sephadex G—200 柱 (2.5×100 cm)，用 PBS I 洗脱，收集第二峰，即为 SC 纯品。

S C 提纯的流程图

新鲜初乳

↓ 100, 000g × 30分钟

取中层乳清

↓ 对 0.01M pH 7.6 PB 充分透析平衡

DEAE-Cellulose 32 (用 0.01M, pH 7.6 PB 平衡)
(2.5×30cm)

↓ 0.01M, pH 7.6 PB 洗脱

收集穿过峰

↓ 加入固体 $\text{Fe}(\text{NH}_4)_2(\text{SO}_4)_2$ 至浓度为 4 mg/L

↓ 电动搅拌, 4°C 下

加入 CM-Sephadex C50 干粉 (2 g/L)

↓ 4°C 下, 缓慢搅拌 2 小时

↓ 4°C 过夜

↓ II 号砂芯漏斗过滤

取滤液

↓ 枸橼酸调至 pH 6.8

加入 IgM-Sepharose 4B

↓ 4°C 下搅拌 3 小时, 装柱 (2.5×30cm)

↓ PBS1 洗脱杂蛋白至 $A_{278} < 0.02$

↓ 1 M, pH 7.0 KSCN 洗脱结合蛋白

收集结合蛋白洗脱峰

↓ 对 PBS1 充分透析

↓ 10% FeCl₃, 鉴定无 KSCN

过抗乳铁蛋白 IgG-Sepharose 4B 柱
(1.2×30cm)

↓ PBS1 洗脱

收集穿过峰

↓ 4°C 超滤浓缩至 10 ml

过 Sephadex G - 200 柱 (先以 PBS1 平衡)

(2.5×100cm)

↓ PBS1 洗脱

收集第二峰, 即为 S C

三、SC纯度鉴定方法

- (一) 聚丙烯酰胺凝胶盘状电泳⁽⁸⁾: 加样量为 $100 \mu g$ / 柱。
- (二) SDS—聚丙烯酰胺凝胶水平板电泳⁽⁸⁾: 不同批之 SC 各取 20 、 25 、 $12 \mu g$ / 孔; 乳铁蛋白 $30 \mu g$ / 孔; 混合标准蛋白 $80 \mu g$ / 孔; SIGA $13 \mu g$ / 孔。
- (三) 免疫电泳⁽⁸⁾: 载体为 $0.8g / dL$ 琼脂糖, 电泳液为 $0.05 M$ 、pH 8.2 的巴比妥缓冲液。板中各孔抗原均为提纯的 SC, 样品中加抗血清(自上而下)为抗全乳清、抗乳铁蛋白、抗人全血清、抗 SIGA, 抗 IgA、抗 IgM。

四、SC抗血清制备及特异性鉴定方法

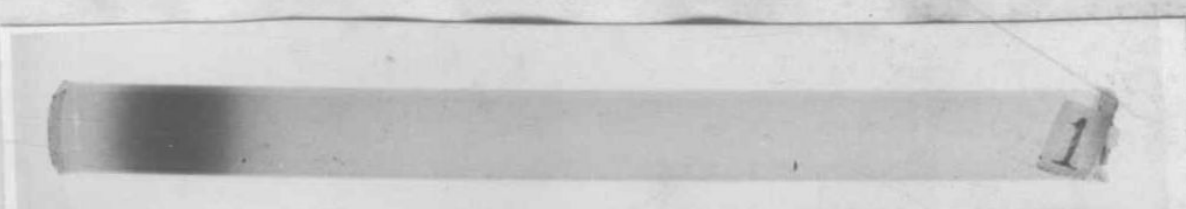
(一) 抗 SC 血清的制备: 取提纯的 SC $0.25mg$ 加入等量福氏完全佐剂, 乳化后注射于新西兰纯种兔足趾皮内, 三周后再以 $0.5 mg$ SC 加等量不完全福氏佐剂注射于腘窝肿大的淋巴结及四肢内侧皮内皮下多点。以后每隔七天同法于四肢、背部皮内皮下多点加强注射, 至产生满意效价时颈动脉放血, 分离血清, 用戊二醛交联的人脐血清吸附⁽⁸⁾。

(二) 抗 SC 血清的特异性和效价鉴定: 用双向扩散法鉴定抗 SC 血清效价; 以乳清、乳铁蛋白、正常人血清、IgA 骨髓瘤血清、SIGA、SC 为抗原, 用免疫电泳法鉴定抗血清特异性。

结 果

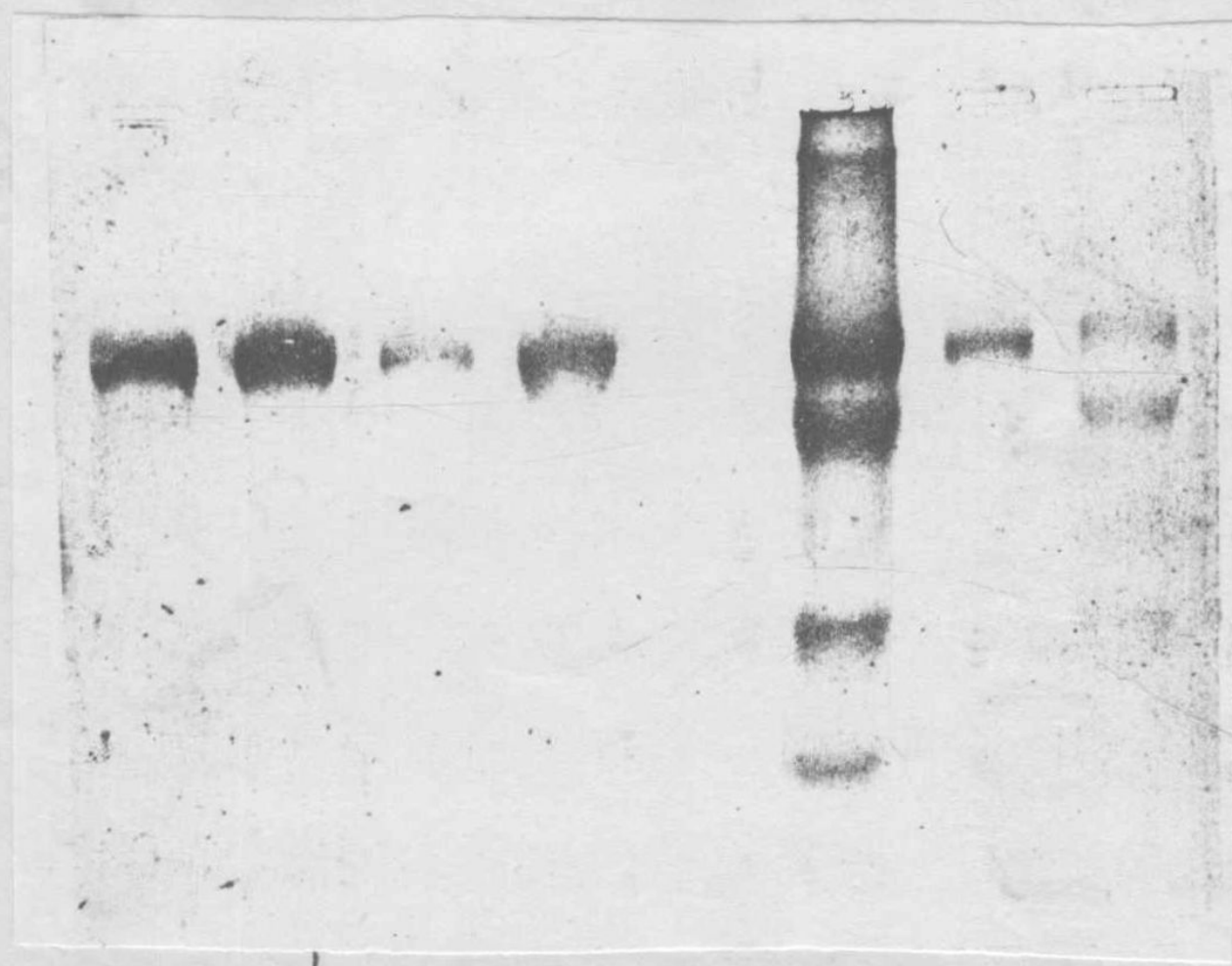
一、SC的纯度和分子量

1. 聚丙烯酰胺凝胶盘状电泳显示提取的 SC 为单一区带。(图
--)

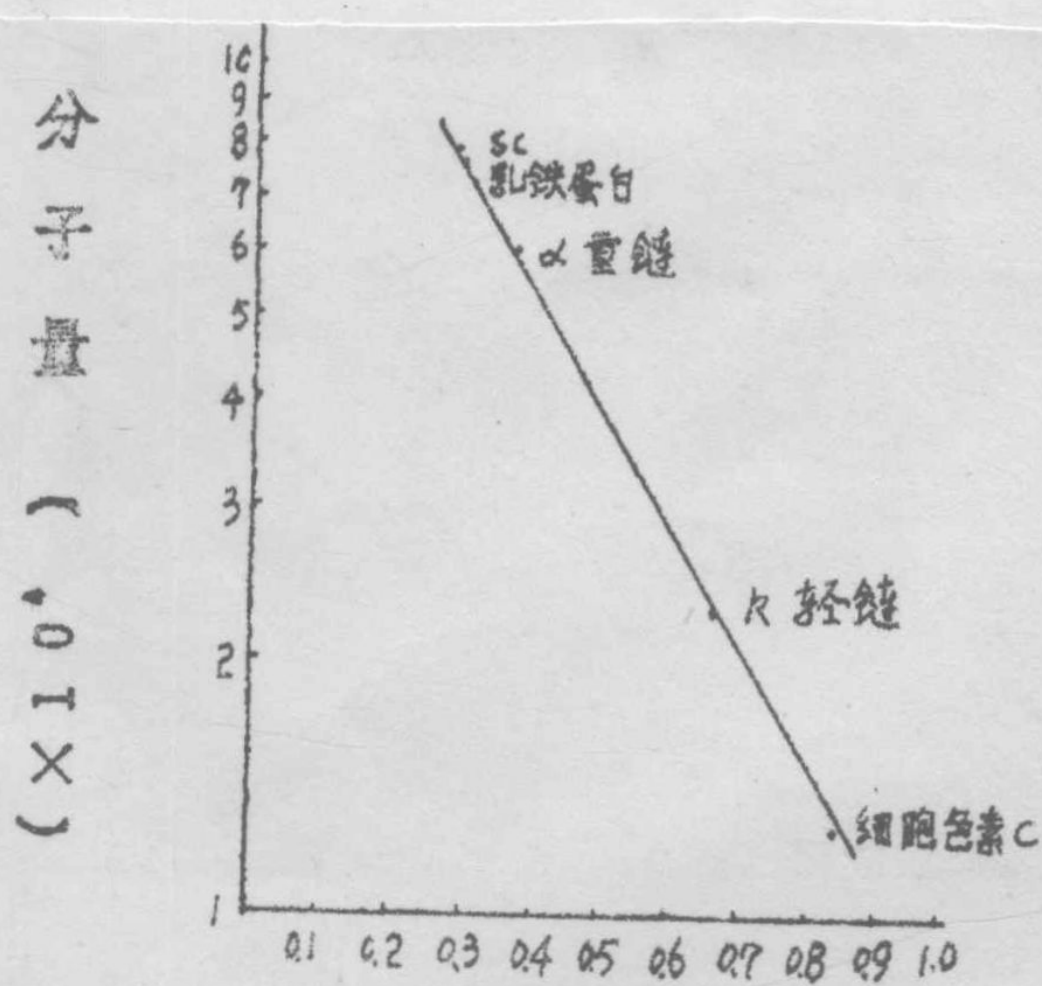


图一：PAGE示单一区带

2. SDS—聚丙烯酰胺凝胶电泳法测得纯化的SC分子量约为75,500,且呈单一区带。(图二、三、表1)。

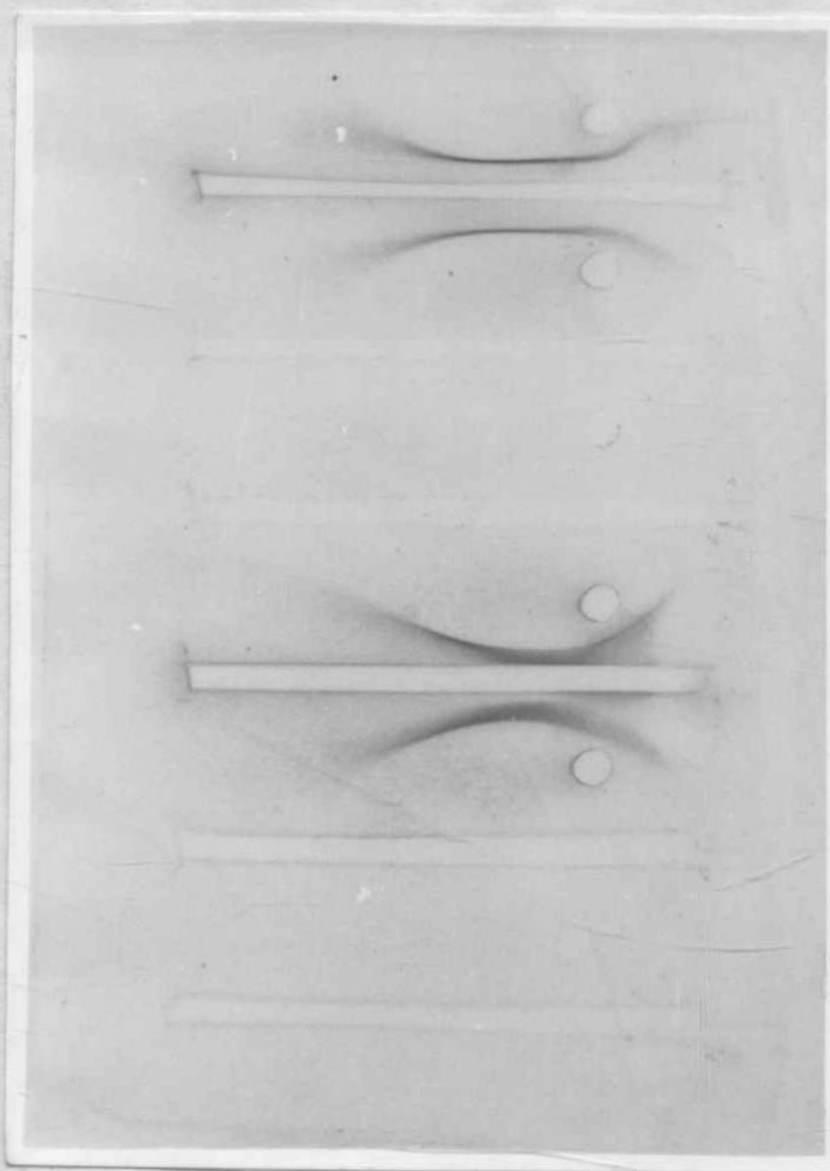


图二：SDS-PAGE
(自左至右：SC, SC₂, SC₃, 乳铁蛋白, 混合标准蛋白, SC₄, SIGA)。



图三、SC、标准蛋白分子量与相对迁移率的关系

3. 免疫电泳显示纯化的 S C 与抗全乳、抗 SIGA 血清呈单一沉淀线，与抗人全血清、抗乳铁蛋白、抗 IgA、抗 IgM 不反应。
 (图四)



图四、免疫电泳。孔内均加 S C 为抗原，槽中加抗血清（自上而下）为抗全乳清、抗乳铁蛋白、抗人血清、抗 SIGA、抗 IgA、抗 IgM

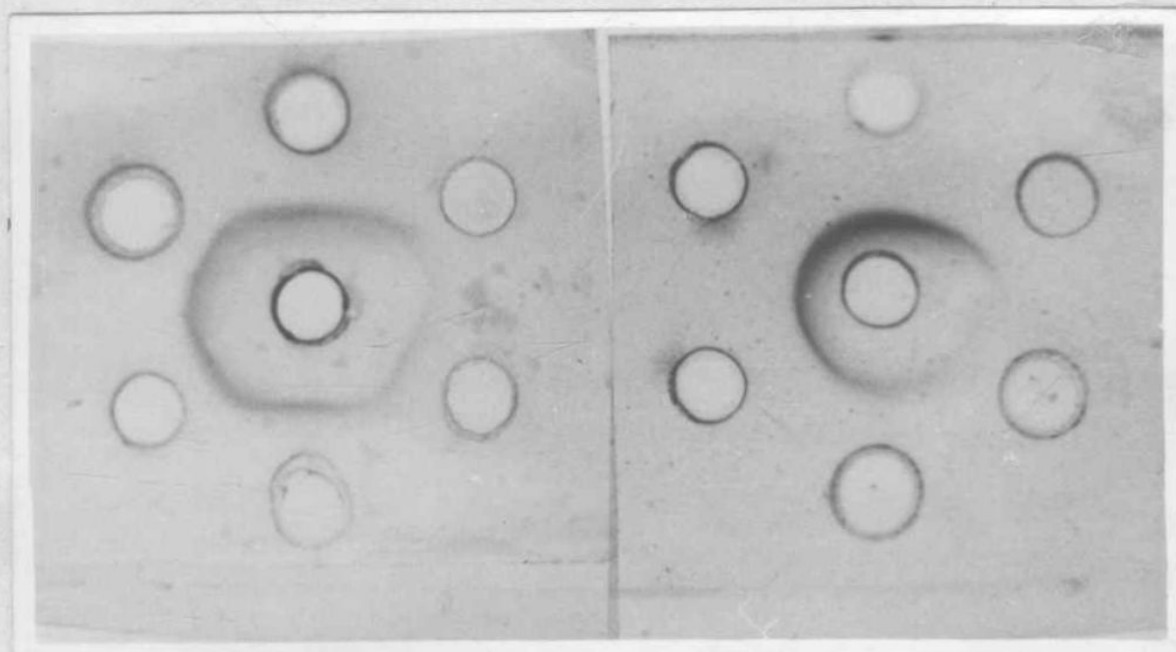
表 1 标准蛋白、S C 的迁移率与分子量关系

标准蛋白	染料迁移距离 (cm)	样品迁移距离 (cm)	相对迁移率	分子量 (dalton)
细胞色素 C	6.0	5.05	0.84	13,370
k 轻链	6.0	3.95	0.66	22,500
α 重链	6.0	2.35	0.39	58,000
乳铁蛋白	6.0	1.80	0.30	75,000
S C	6.0	1.78	0.297	75,500

$$r = -0.999 \quad (x \text{ 为相对迁移率, } y \text{ 为 } \log MW)$$

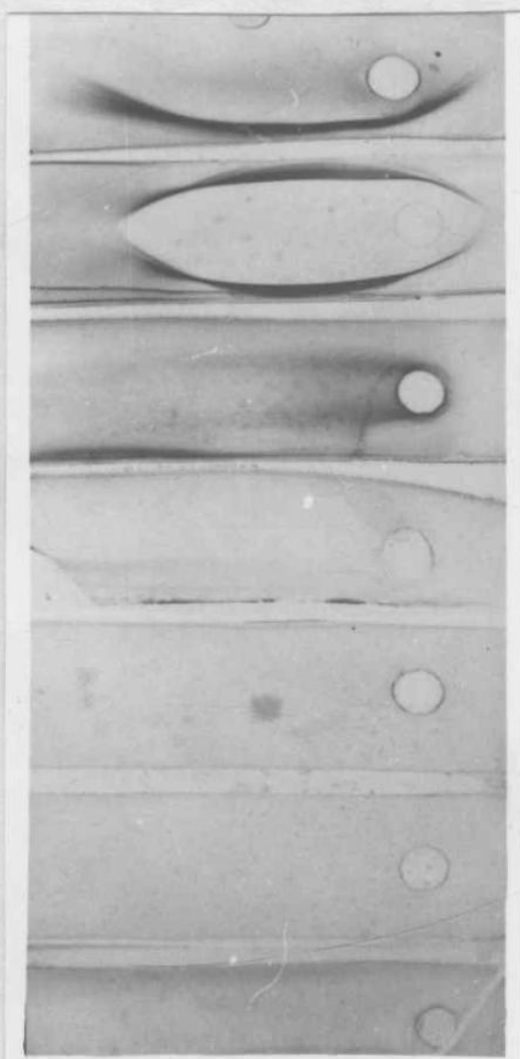
二、抗 S C 血清的效价及特异性

1. 双扩散法测得抗 S C 血清与 S C 反应效价为 1: 16—1: 32；与 SIGA 反应效价为 1: 8~1: 16（各批抗血清稍有差异）。（图五）。



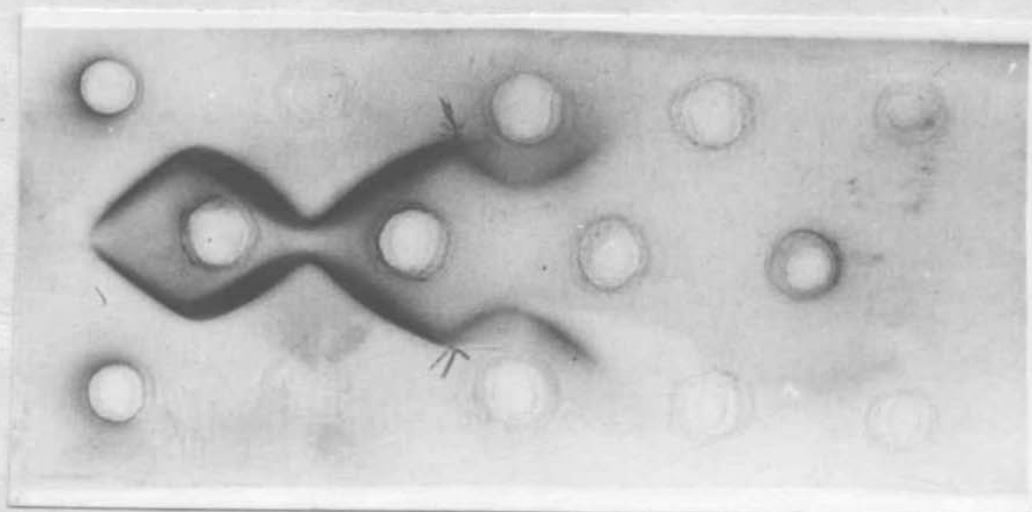
图五、免疫双扩散测得对 S C (左) 效价为 1: 32；
对 SIGA (右) 效价为 1: 16。

2. 免疫电泳显示出抗 S C 血清与乳清、纯化 S C 及 SIGA 均呈单价特异沉淀线，与乳铁蛋白、正常人血清、IgA 及 IgM 两种骨髓瘤血清均无反应。（图六）



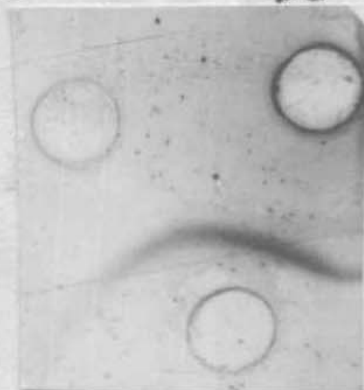
图六、免疫电泳。槽中均加抗
S C。孔中(自上而下)
为乳清、S C、SIGA、
乳铁蛋白、正常人血清、
Ig A 骨髓瘤血清、
Ig M 骨髓瘤血清

3. 免疫双扩散法见抗 S C 与乳清、 S C 之间形成的沉淀线完全融合，而抗 S C 与 SIGA、 S C 之间形成的沉淀线呈现部分融合（图七）。抗 S C、 抗 I g A 与 SIGA 之间形成的沉淀线完全融合（图八）。



图七 免疫双扩散。中行孔均加抗 S C 血清；上下行孔（自左至右）加乳清、 S C 、 SIGA 、乳铁蛋白、正常人血清。箭头示 S C 与 SIGA 之间呈部分交叉。

抗 S C 抗 SIGA



图八、免疫双扩散。上左孔为抗 S C 、上右孔为抗 I g A ，下中孔为 SIGA 。两条沉淀线完全融合

讨 论

一、 S C 纯化方法问题

1966年以来，欧美学者先后发表多篇有关 S C 纯化文章，基本可归为三类：1.藉离子交换、分子筛直接分离提纯⁽²⁾ S C 。2.先提取 SIGA，用巯基乙醇处理，使 S C 从 SIGA 分子上游离出，烷基化